

# КРУЧЕНИЕ ПРИЗМАТИЧЕСКОГО БРУСА, ПРОДОЛЬНО ОСЛАБЛЕННОГО ЦИЛИНДРИЧЕСКИМИ ПОЛОСТЯМИ С УЧЕТОМ ШЕРОХОВАТОСТИ ПОВЕРХНОСТИ

Р.К. Калбиев

Азербайджанский архитектурно-строительный университет, г. Баку

E-mail: elektroset@box.az

*Исследовано кручение призматического бруса двухсвязного поперечного сечения, ограниченного снаружи квадратом или изнутри контуром, близким к окружностям. При кручении призматического бруса, продольно ослабленного цилиндрическими полостями по окружности, внутри наружного контура сечения призмы (квадрата) и при кручении кольцевого бруса при равном диаметре, касательные напряжения одинаковы. В таком случае геометрические параметры внутреннего контура более существенно влияют на напряженное состояние бруса, чем наружные.*

В ранее опубликованных работах [1] дается изложение Сен-Венана, а затем изучаются брусья из разнородного материала, столь важные для железобетонных сооружений, по совершенно новым методам, впервые развитым Н.И. Мухелишвили. В работах Д.И. Шермана [2] был указан прием, допускающий эффективное рассмотрение задач кручения призматических тел, поперечные сечения которых являются двухсвязными областями некоторого вида. Этот прием основан на введении по усмотрению на какой-либо одной из кривых, ограничивающих сечение, вспомогательной функции, для определения которой строится затем интегральное уравнение Фредгольма. Последнее решается последовательными приближениями, базирующимися

на разложении вспомогательной функции в ряд по степеням параметра, характеризующего частично геометрические размеры сечения и главным образом сравнительную близость одной из его границ к другой. В [3] на основе методов теории функции комплексного переменного и конформного отображения рассмотрены и решены задачи теории упругости для неодносвязных областей изотропных и анизотропных материалов. Впервые на основе энергетического метода А.А. Гриффитс решил задачу о необходимой величине предельной разрушающей нагрузки для бесконечной однорядной пластины с прямолинейной микроскопической трещиной заданной длины в случае, когда пластина растягивается.

Обзор работ по задачи теории упругости для конечных тел показывает, что ранее границу тела принимали идеальной. Как известно, в отличие от идеальной, реальная поверхность тел (деталей) никогда не бывает абсолютно гладкой и всегда имеет микро- или макроскопическое неровности, образующие шероховатость. Под шероховатостью поверхности в машиностроении понимается совокупность неровностей, рассматриваемых в пределах стандартного участка. Качество обработки поверхности деталей машиностроения существенно влияет на их прочность. Так, например, повышение чистоты обработки при прочих равных условиях увеличивает статическую прочность, особенно хрупкую, и в большей степени предел выносливости. Эти факты объясняются влиянием микрогеометрии обработанной поверхности на напряженное поле. Таким образом, неровности, образующиеся при обработке рабочей поверхности, являются эффективными концентраторами напряжений и могут в несколько раз снижать прочность.

Именно в обход трудностей, связанных с решением задач указанными методами, мы предлагаем более эффективное, на наш взгляд, решение. Оно может оказаться полезным и удобным во многих частных вопросах теории упругости.

В работе рассмотрено кручение призматического бруса, продольно ослабленного цилиндрическими полостями с учетом шероховатости поверхности.

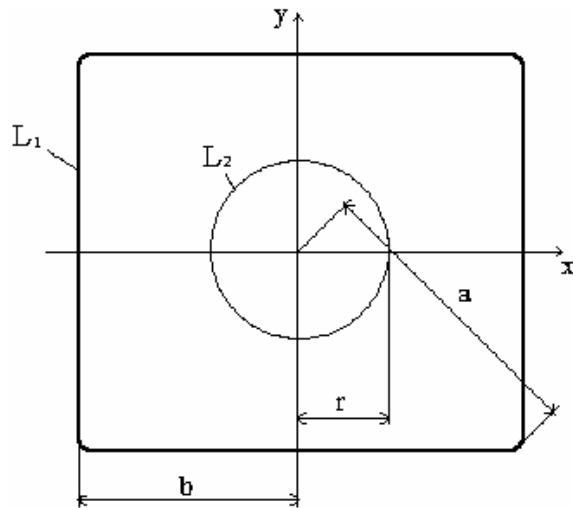


Рис. 1. Сечение бруса

Предположим, что изотропный и однородный призматический брус с поперечным сечением  $S$  в виде двусвязной области ограничен извне правильным четырехугольником  $L_1$ , а изнутри окружностями  $L_2$  радиусом  $r$  (рис. 1). При решении прикладных задач целесообразно разработать эффективный приближенный метод решения задач теории упругости для двусвязных областей, который позволил бы избежать построение новых отображающих функций. Брус подвержен действию крутящего момента  $M$ .

Границу внутреннего контура (или наружного, если она близка к круговой) представим в виде:

$$\rho(\theta) = r + \varepsilon H(\theta).$$

Здесь  $\varepsilon$  – малый параметр, равный отношению высоты наибольшего выступа профиля к радиусу отверстия или отношению глубины наибольшей впадины профиля к радиусу отверстия;  $H(q)$  – функция, не зависящая от малого параметра.

Касательные напряжения ищем в виде разложения по малому параметру  $\varepsilon$ :

$$\tau_{r\theta} = \tau_{r\theta}^{(0)} + \varepsilon \tau_{r\theta}^{(1)} + \dots \quad (1)$$

где для упрощения задачи пренебрегаем членами, содержащими малый параметр  $\varepsilon$  в степени выше первой.

В соотношениях (1)  $\tau_{r\theta}^{(0)}$  – напряжения нулевого приближения, а  $\tau_{r\theta}^{(1)}$  – напряжения первого приближения. Каждое из приближений удовлетворяет системе дифференциальных уравнений равновесия. Граничные условия на внешнем на квадратном контуре будут [1] в нулевом приближении такие же, как в исходной задаче:

$$f_1^{(0)}(t) = f_1(t)$$

и в первом приближении будут нулевыми

$$f_1^{(1)}(t) = 0.$$

Значения компонент напряжений ( $\tau_{r\theta}^{(0)}$ ,  $\tau_{r\theta}^{(1)}$ ) при  $r=R(q)$  найдем, разлагая в ряд выражения для напряжений в окрестности  $r=R$ .

$$\tau_{\theta r}^{(0)} \Big|_{r=\rho} = \tau_{\theta r}^{(0)} \Big|_{r=R} + \frac{\partial \tau_{\theta r}^{(0)}}{\partial r} \Big|_{r=R} \varepsilon H(\theta) + \dots + \dots \quad (2)$$

$$\tau_{\theta r}^{(1)} \Big|_{r=\rho} = \tau_{\theta r}^{(1)} \Big|_{r=R} + \frac{\partial \tau_{\theta r}^{(1)}}{\partial r} \Big|_{r=R} \varepsilon H(\theta) + \dots +$$

Граничные условия на контуре  $L_2$  представим в виде

$$\tau_{nt} = \tau_{r\theta} (\cos^2 \varphi - \sin^2 \varphi) = 0. \quad (3)$$

Если взять  $\sin \varphi$  и  $\cos \varphi$  с точностью до величин первого порядка малости и подставить выражения (2) в граничные условия (3), то после преобразования краевые условия при  $r=R$  получим в следующем виде:

$$\tau_{r\theta}^{(0)} = 0; \quad \tau_{r\theta}^{(1)} + H(\theta) \frac{\partial \tau_{r\theta}^{(0)}}{\partial r} = 0.$$

Решение в нулевом приближении является известным. Первое и все последующие приближения решаются тем же способом, что и нулевое, только задача усложняется из-за граничных условий на круговом контуре  $r=R$ .

Рассмотрим решение поставленной задачи в нулевом приближении.

Как известно [1], изучение задачи кручения бруса сводится к нахождению функций  $\varphi(z)$  комплексного переменного, удовлетворяющих определенным граничным условиям на  $L_j$ :

$$\phi(t) + \overline{\phi(t)} = t \cdot \bar{t} + C_j, \quad t \in L_j \quad (j = 1, 2). \quad (4)$$

Здесь  $t$  – аффикс точек контура  $L_j$ ;  $C_j$  – вещественные постоянные (одну из которых, например  $C_1$ , примем равной нулю, а  $C_2$  подлежит определению).

Внешность квадрата  $L_1$ , как известно, отображается на внешность единичного круга с помощью следующей функции [1]

$$z = A\tau \left( 1 + \frac{m}{\tau^q} \right), \quad (5)$$

где  $A = \frac{a+b}{2}$ ;  $|m| = \frac{a-b}{a+b}$ ,  $a$  и  $b$  соответственно радиусы окружностей, описанных вокруг квадрата и вписанных в квадрат  $L_1$ ;  $q$  – число осей симметрии (число сторон),  $q=4$ ;  $\tau = e^{i\theta}$ ,  $\tau$  – аффикс, а  $\theta$  – аргумент точки контура единичной окружности.

Очевидно, что в (5) при  $m=0$  контур  $L_1$  превращается в окружность радиуса  $R=A$ . Для квадрата  $m=-1/9$ .

Регулярную функцию в области  $S$  построим в виде суммы функций, одна из которых регулярна внутри контура  $L_1$ , а другая вне контура  $L_2$ , т. е.

$$\phi^{(j)}(z) = \sum_{k=0}^N a_k \left( \frac{z}{A} \right)^k + \sum_{k=1}^N b_k \left( \frac{r}{z} \right)^k. \quad (6)$$

Здесь неизвестные и подлежащие определению коэффициенты  $a_k$  и  $b_k$  ( $k=0, \infty$ ), принимаются комплексными величинами.  $N$  – верхний предел суммы выбирается в зависимости от точности, с которой желательно получить искомое решение. Формально, лишь с целью несколько облегчить математические выкладки, верхний предел возьмем равным бесконечности; в последующем, для иллюстрации решения, фактически будем рассматривать лишь укороченные системы.

Учитывая (6) в (5), граничные условия на  $L_j$  приводятся к виду:

$$\sum_{k=1}^{\infty} a_k \left( \frac{t}{A} \right)^k + \sum_{k=1}^{\infty} b_k \left( \frac{r}{t} \right)^k + \sum_{k=1}^{\infty} a_k \left( \frac{\bar{t}}{A} \right)^k + \sum_{k=1}^{\infty} b_k \left( \frac{\bar{r}}{\bar{t}} \right)^k = t \cdot \bar{t} - C_j \quad \text{на } L_j. \quad (7)$$

На внешнем контуре  $L_1$  имеем

$$\begin{aligned} t\bar{t} &= A^2 \left( \tau + \frac{m}{\tau^3} \right) (\tau^{-1} + m\tau^3) = \\ &= A^2 (1 + m^2) + A^2 m (\tau^4 + \tau^{-4}). \end{aligned} \quad (8)$$

Учитывая в граничном условии (4) отображающую функцию (5) и выражение (8), получим:

$$\begin{aligned} \sum_{v=1}^{\infty} \tau^{-v} S_1(v) + \sum_{v=1}^{\infty} \tau^v S_1(v) + \sum_{v=1}^{\infty} \tau^{-v} S_2(v) + \sum_{v=1}^{\infty} \tau^v S_2(v) + \\ + \sum_{v=0}^{\infty} \tau^{-v} S_3(v) + \sum_{v=0}^{\infty} \tau^v S_3(v) = A^2 m \tau^4 + A^2 m \tau^{-4} + C. \end{aligned} \quad (9)$$

Приравнявая в (9) коэффициенты при одинаковых степенях  $\tau$ , получим систему бесконечных линейных алгебраических уравнений:

$$S_1(v) + S_2(v) + S_3(v) = A^2 m \varepsilon. \quad (10)$$

Здесь введены обозначения:

$$\begin{aligned} S_1(v) &= \sum_{n=v-4E}^v *a_k \left( \frac{r}{A} \right)^k m^{\frac{v-k}{4}} C_{-k}^{\frac{v-k}{4}}, \\ S_2(v) &= \sum_{v_1=v}^{\infty} *b_k m^{\frac{v_1-v}{4}} C_{v_1}^{\frac{v_1-v}{4}}, \\ S_3(v) &= \sum_{v_1=\frac{v+\varepsilon}{3}}^{\infty} *b_k m^{\frac{v_1+v}{4}} C_{v_1}^{\frac{v_1+v}{4}}, \end{aligned} \quad (11)$$

$\varepsilon$  равно 0 или 1.

Кроме того, к системе бесконечных уравнений (10) следует присоединить еще уравнение для свободных членов (они отвечают нулевой степени переменной  $\tau$ ):

$$2S_3(0) = A^2 (1 + m^2) + C_1.$$

Теперь преобразуем граничное условие на внутреннем контуре  $L_2$ . Так как на окружности  $L_2$  имеем  $t\bar{t}=R^2$ , то равенству (7) придадим следующий вид:

$$\begin{aligned} \sum_{k=1}^{\infty} a_k \left( \frac{r}{t} \right)^k + \sum_{k=1}^{\infty} b_k \left( \frac{t}{r} \right)^k + \sum_{k=1}^{\infty} a_k \left( \frac{\bar{t}}{r} \right)^k + \\ + \sum_{k=1}^{\infty} b_k \left( \frac{r}{\bar{t}} \right)^k = 0 \quad \text{на } L_2. \end{aligned}$$

В граничном условии (7), сравнивая коэффициенты при одинаковых степенях  $r/t$ , получим следующую систему бесконечных линейных алгебраических уравнений

$$a_v + \lambda^v b_v = 0, \quad v = 1, 2, \dots \quad (12)$$

Таким образом, решение задачи кручения призматических брусьев с центральной круглой полостью сведено к двум (10) и (12) системам бесконечных линейных алгебраических уравнений.

Из этих уравнений удерживается несколько первых уравнений и определяются неизвестные коэффициенты  $a_k$  и  $b_k$ . Число этих уравнений должно быть фиксировано в зависимости от параметра, характеризующего близость контуров сечения, от требуемой точности расчета.

После нахождения корней уравнений (10) и (12) по формуле (6) определяется регулярная в области  $S$  функция  $\phi(z)$ .

Как известно, компоненты касательных напряжений вычисляются по формуле [1]

$$\tau_{yx} - i\tau_{yz} = \mu \tau i [\phi'(z) - \bar{z}]. \quad (13)$$

Подставляя в (13) значение регулярной функции  $j(z)$ , определяемой по формуле (6), получим

$$\tau_{yx} - i\tau_{yz} = \mu \tau i \left[ - \sum_{k=1}^{\infty} k a_k \frac{r^k}{z^{k+1}} + \sum_{v=1}^{\infty} k a_k A^{-k} z^{k-1} b_k - \bar{z} \right].$$

В (7) перейдя к полярным координатам  $r$  и  $q$ , где  $z=re^{iq}$ ,  $\bar{z}=\bar{r}e^{iq}$ , получим

$$\tau_{yx} - i\tau_{yz} = \mu\tau i \left[ -\sum_{k=1}^{\infty} ka_k \frac{r^k}{\rho^{k+1}} e^{-i(k+1)\theta} + \sum_{k=1}^{\infty} kA^{-k} \rho^{k-1} e^{i(k-1)\theta} b_k - \rho e^{-i\theta} \right].$$

Как известно [1],

$$\tau_{\rho} - i\tau_{\theta} = \frac{\xi\omega'(\xi)}{e|\omega'(\xi)|} (\tau_{xz} - \tau_{yz}).$$

На границе области должно быть  $\tau_{\rho}=0$ , поэтому предыдущая формула позволяет непосредственно определить контурное значение касательного напряжения  $\tau_{\theta}$  и, в частности, найти его максимум.

Уравнению для определения жесткости при кручении можно придать вид

$$D = \mu \iint_S (x^2 + y^2 + x \frac{\partial \phi}{\partial y} - y \frac{\partial \phi}{\partial x}) dx dy = \mu \{ J - \frac{i}{4} \int_{L_j} (\phi(t) - \overline{\phi(t)}) d(\bar{t}) \}, \quad (14)$$

где интегрирование ведется по всем контурам  $L_j$ , обход которых таков, что область  $S$  всегда остается слева;  $J$  – полярный момент инерции площади поперечного сечения:

$$J = \int_{L_1} (x^2 + y^2) dx dy. \quad (15)$$

Согласно равенствам (14) и (15), формуле для определения жесткости на кручение придадим еще и такой вид:

$$D = \mu(J + D_0), \quad (16)$$

где  $\mu$  – модуль сдвига.

$$D_0 = -J - \frac{i}{4} \sum_{j=1}^{\infty} \int_{L_j} (\phi(t) - \overline{\phi(t)}) d(\bar{t}), \quad (17)$$

$J$  может быть записан в виде

$$J = \iint_{S_1} (x^2 + y^2) dx dy - J_0 = \frac{1}{3} \int_{L_1} (x^3 dy - y^3 dx) - J_0.$$

Здесь  $J_0 = \frac{\pi r^2}{2}$  – полярный момент инерции круга (область – внутренние контуры  $L_2$ ).

Двойной интеграл, распространенный по  $S_2$  (вся область, охваченная контуром  $L_1$ ), после замены криволинейным и перехода в нем к переменным  $t$  и  $\bar{t}$ , приводится к виду

$$J = \frac{1}{8i} \int_{L_1} t \bar{t} (\bar{t} dt - t d\bar{t}) - J_0.$$

Преобразовав, в свою очередь, этот интеграл к переменной  $\tau$ , учитывая в нем отображающую функцию (5), получим:

$$J = \frac{\pi A^4}{2} (1 - 4m^2 - 3m^2) - \frac{\pi r^4}{2}.$$

Этому равенству можно придать и такой вид:

$$J = J_0 \left\{ \left( \frac{A}{r} \right)^4 (1 - 4m^2 - 3m^4) - 1 \right\}. \quad (18)$$

Так как интеграл в равенстве (17), распространенный по окружности  $L_1$ , тождественно обращается в нуль (на окружности  $\bar{t}=r^2$  и поэтому его дифференциал равен нулю), то, учитывая отображающую функцию (5), а также выражения для регулярной функции  $\phi(z)$ , можно записать  $D_0$  в форме

$$D_0 = \frac{i}{4} \left[ \sum_{v=1}^{\infty} \int_{\gamma} \tau^{-v} S_1(v) + \sum_{v=1}^{\infty} \int_{\gamma} \tau^v S_2(v) + \sum_{v=1}^{\infty} \int_{\gamma} \tau^{-v} S_3(v) + \sum_{v=1}^{\infty} \int_{\gamma} \tau^v S_1(v) - \sum_{v=1}^{\infty} \int_{\gamma} \tau^{-v} S_2(v) - \sum_{v=1}^{\infty} \int_{\gamma} \tau^v S_3(v) \right] \times A^2 (4m\tau^3 - 4m\tau^{-5}) d\tau. \quad (19)$$

Здесь  $\gamma$  – единичная окружность в плоскости  $\xi$ , на которую отображается  $L_1$ . При этом  $S_1(v)$ ,  $S_2(v)$  и  $S_3(v)$  определяются по формулам (11).

Из всех интегралов, входящих в равенство (19) отличны от нуля лишь интегралы, содержащие переменную  $\tau$  в первой отрицательной степени. Поэтому для вычисления  $D_0$  получим следующую простую формулу:

$$D_0 = 4\pi mA^2 [S_1(4) - S_2(4) + S_3(4)]. \quad (20)$$

Таким образом, жесткость на кручение будет определяться по формуле, учитывая (18) и (20) в равенстве (16):

$$D = \mu(J + D_0) = 4\mu\pi mA^2 [S_1(4) - S_2(4) + S_3(4)] + \mu J_0 \left\{ \left( \frac{A}{r} \right)^4 (1 - 4m^2 - 3m^4) - 1 \right\}.$$

При заданной закручивающей паре, т. е. при заданной величине  $M$ , постоянная  $\tau$  определится по формуле

$$\tau = \frac{M}{D}$$

и задача решена на нулевом приближении [3].

Перейдем к решению задачи в первом приближении. На первом приближении главный момент внешних напряжений, приложенных к верхнему основанию, определится формулой [4]

$$M^{(1)} = -H(\theta) \frac{\partial \tau_{r\theta}^{(0)}}{\partial r}.$$

Для каждого профиля обработанной поверхности (реализация шероховатой поверхности) внутреннего контура пластинки функцию  $H(\theta)$  можно разложить в степенной ряд на отрезке  $[0; 2\pi]$ .

До сих пор исследование распределения напряжений возле границ призматического бруса с неровностями на контуре проводилось в детермини-

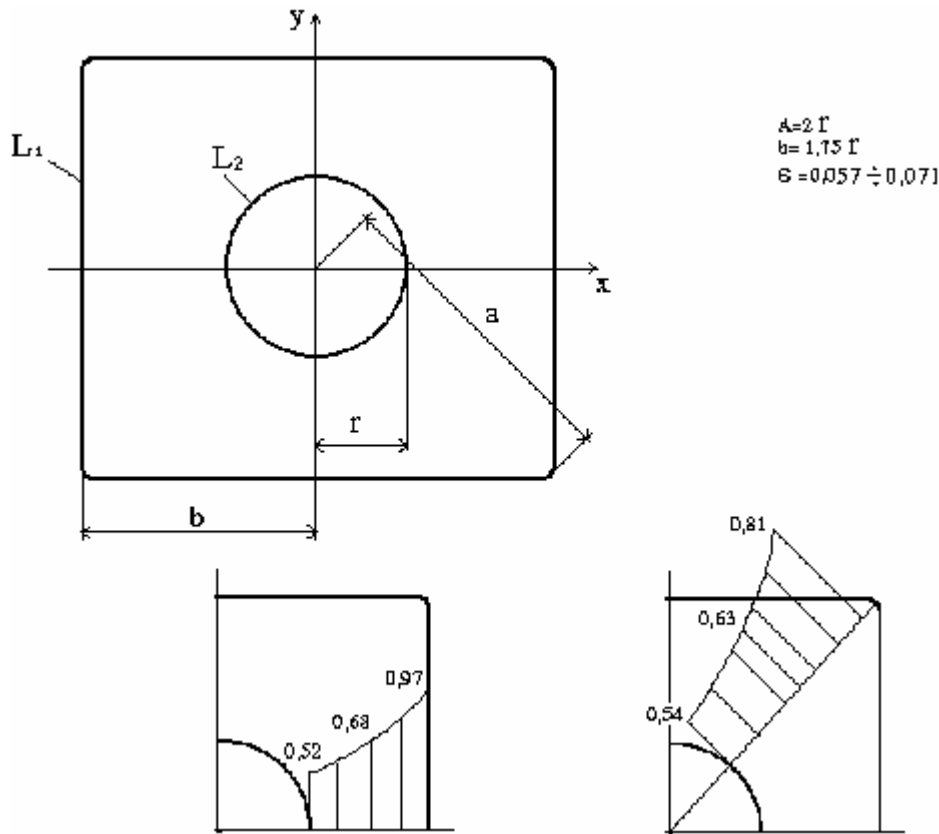


Рис. 2. Эпюры касательных напряжений

стической постановке. Представляет большое практическое значение случай, когда распределение и формы неровностей (шероховатости) контура носят случайный характер.

Для расчетов были приняты следующие законы распределения шероховатостей [5]:

$$H(\theta) = d \cos \frac{2\pi\theta}{h},$$

где  $d$  – высота выступов, а  $h$  – шаг.

Нами были рассмотрены следующие конкретные примеры.

При определенных параметрах характерных точках конструкции определены величины касательных напряжений и для наглядности построены эпюры напряжений (рис. 2).

При кручении призматического бруса, продольно ослабленного цилиндрическими полостями по окружности внутри наружного контура сечения призмы (квадрата) и при кручении кольцевого бруса по контуру наружного контура, при равном диаметре, касательные напряжений одинаковы. В таком случае, геометрические параметры внутреннего контура более существенно влияют на напряженное состояние бруса, чем наружного.

При численных примерах для прокатных валов (рис. 3), при  $R_1=0,35$  м,  $r=0,22$  м,  $\mu=8,4 \cdot 10^4$ ,  $D=\mu J$ ,  $\tau = \frac{M}{D}$ ,  $l=r/R_1$  определены компоненты касательных напряжений [5] с учетом шероховатости (рис. 4).

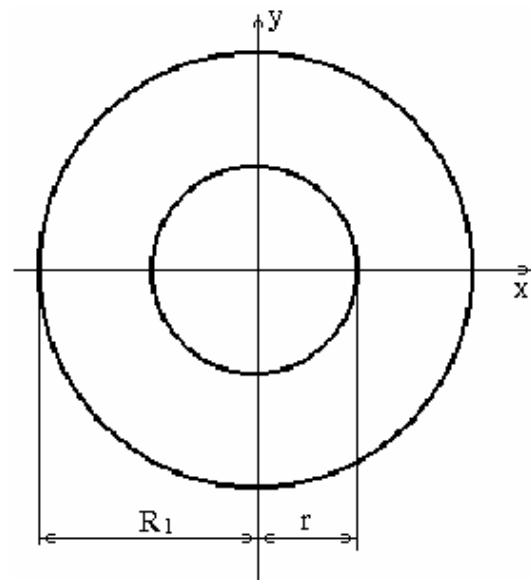
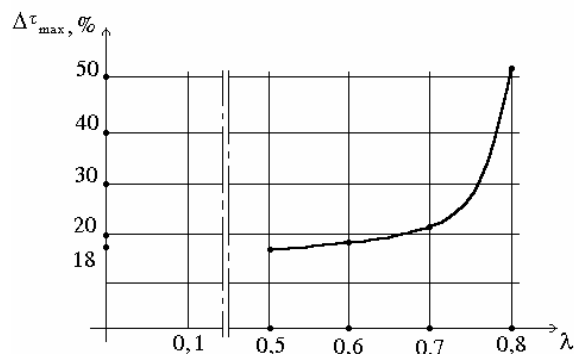


Рис. 3. Сечение вала

Известно, что при эксплуатации наружный диаметр  $R_1$  уменьшается и получает минимальное допускаемое значение. При вычислении получено  $R_1=0,28$  м. Здесь  $\Delta\tau_{\max}$  – относительный процент касательных напряжений (рис. 4).

$$\Delta\tau_{\max} = \frac{\tau_{r\theta} - \tau'_{r\theta}}{\tau_{r\theta}} \cdot 100\%,$$

где  $\tau_{r\theta}$  и  $\tau'_{r\theta}$  – касательные напряжения с учетом и без учета шероховатости.



**Рис. 4.** График зависимости касательных напряжений от геометрических параметров при кручении

#### СПИСОК ЛИТЕРАТУРЫ

1. Мухелишвили Н.И. Некоторые основные задачи математической теории упругости. – М.: Наука, 1966. – 648 с.
2. Кулиев С.А. Двумерные задачи теории упругости. – М.: Стройиздат, 1991. – 350 с.
3. Калбиев Р.К. Кручение кольцевых пластин с шероховатостью // Сборник научных трудов по механике. – Баку: АзИСУ, 1998. – Ч. 1. – № 8. – С. 24–27.
4. Калбиев Р.К. Исследование напряженного состояния в шестиугольной пластинке, ослабленной центральными круглым отверстием с шероховатостью // Известия Томского политехнического университета. – 2006. – Т. 309. – № 1. – С. 142–146.
5. Калбиев Р.К. Определение напряженного состояния кольцевого бруса с шероховатостью при кручении // Труды XXI Междунар. конф. по теории оболочек и пластин. – Саратов: СГТУ, 2005. – С. 111–113.

Как видно из рис. 4, после некоторых значений  $\lambda$  влияние шероховатости на напряженное состояние вала резко увеличивается.

#### Выводы

При кручении призматического бруса, продольно ослабленного цилиндрическими полостями по окружности внутри наружного контура сечения призмы (квадрата) и при кручении кольцевого бруса при равным диаметре, касательные напряжений одинаковы. В таком случае, геометрические параметры внутреннего контура более существенно влияют на напряженное состояние бруса, чем наружные.

Для оценки прочности бруса найдено касательное напряжение, действующее вблизи шероховатого контура. После некоторых значений  $\lambda=r/R$ , влияние шероховатости на напряженное состояние вала резко увеличивается.